

## **Analisis Setting Over Current Relay dan Ground Fault Relay Pada Sisi Incoming Travo 60 MVA dan Outgoing Feeder**

**Dasweptia<sup>1</sup>, Yenni Afrida<sup>2</sup>, Dani Ahmad Fauzi<sup>3</sup>**

<sup>1,2,3</sup> Jurusan Teknik Elektro Fakultas Teknik  
Universitas Muhammadiyah Lampung  
Jl. ZA Pagar Alam No 14, Bandar Lampung 35142  
E-mail : ddj\_ckm@yahoo.co.id  
[yenniafrida2016@gmail.com](mailto:yenniafrida2016@gmail.com)  
[daniyahmadfauzi@gmail.com](mailto:daniyahmadfauzi@gmail.com)

### **ABSTRACT**

A Feeder in the medium-voltage of 20 kV system is used for the electricity distribution from substation to the consumer. But in fact, at the network distribution there are many kinds of disturbances, both of phasa to phasa and phasa to ground. So it is very necessary to have a security devices that can be responded quickly, flexibly and reliably. Security devices which used to overcome the problem of over-current disturbance are OCR (Over-Current Relay) and GFR (Ground-Fault Relay). In installing of these relay, it is also set the working time setting, in order to have a coordination to the other relay. From the results of this study obtained that the largest current disturbance of  $3\emptyset$ ,  $2\emptyset$  and  $1\emptyset$  located at the network base (1% of channel) is ( $R,S,T= 6.471A, 3.235A$  and  $286A$ ), while the smallest disturbance current located at the end of the network (100% of channel) is ( $R,S,T= 400A, 200A$  and  $149A$ ). From this study also found that working time of OCR on the side of outgoing feeder was faster than incoming, the working time of outgoing relay was 0,3 second, then in the incoming side is 0,7 second for the (1% network length). So it can be concluded that the more near distance of disturbance, then the value of the disturbance will be great, and if the greater current of the disturbances happened then working time of relay will be quickly.

**Keywords : Feeder, Disturbance, Protection (Relay), OCR, GFR, Setting**

### **1. Pendahuluan**

Pada sistem distribusi tenaga listrik, tepatnya mulai dari wilayah Gardu Induk (GI) hingga ke sisi konsumen, terdapat banyak sekali macam gangguan yang terjadi, salah satu gangguan yang banyak ditemui dalam sistem distribusi tenaga listrik ialah gangguan hubung singkat. Penyebab utama dari gangguan ini ialah terdapatnya benda asing yang menempel pada jaringan, baik yang menghubungkan jaringan antar fasa ke fasanya atau yang biasa disebut dengan gangguan fasa-fasa, maupun yang menghubungkan langsung fasa ke tanah yang biasa disebut dengan gangguan fasa-tanah.

Keberadaan dari gangguan ini menyebabkan terputusnya pasokan energi listrik yang mengalir ke sisi konsumen, bahkan jika tidak segera diamankan dengan cepat maka dapat mengakibatkan kerusakan pada peralatan listrik yang berada disekitar wilayah

tersebut dan meluasnya gangguan ke wilayah lain. Oleh karena itu dalam upaya pencegahannya, maka diperlukan suatu pengamanan pada sistem energi listrik yaitu yang disebut dengan sistem proteksi. Diharapkan peralatan yang ada pada sistem proteksi ini dapat bekerja dengan baik, dengan memenuhi persyaratan-persyaratan yang telah ditetapkan untuk peralatan pada sistem proteksi, yaitu cepat, responsif, andal, dan selektif, yang semua ini bergantung pada ketepatan setelan pada peralatan proteksi yang terpasang.

### **2. Landasan Teori**

#### **2.1 Sistem Proteksi**

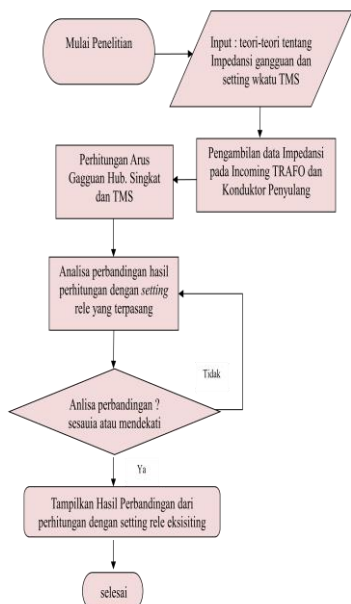
Sistem proteksi adalah suatu sistem pengamanan terhadap peralatan listrik, yang diakibatkan adanya gangguan teknis, gangguan alam, kesalahan operasi, dan penyebab yang lainnya. Sistem Proteksi berfungsi untuk memisahkan / mengisolir bagian





Penelitian ini dilakukan dengan memasukan data ada di lapangan pada persamaan atau teori-teori perhitungan yang didapat, kemudian membandingkannya dengan nilai setelan yang sudah terpasang.

Analisa setting OCR dan GFR ini dilakukan di *Incoming* Penyulang dari Trafo II (60 MVA) dan *Outgoing* penyulang Teh, pada PT PLN (Persero) GI Bukit Kemuning Secara garis besar, penyusunan penelitian ini dapat digambarkan dengan diagram alir (*flow chart*) pada gambar 2.



Gambar 2. Flow chart Penelitian

#### 4. Perhitungan dan Analisa

##### 4.1 Data Sistem pada Gardu Induk Bukit Kemuning

Gardu Induk Bukit Kemuning memiliki 2 unit trafo tenaga dengan tegangan kerja 150/20 kV dan 6 penyulang 20 kV, dimana Trafo I dengan kapasitas (30 MVA) memasok 3 penyulang dan Trafo II yang berkapasitas (60 MVA) juga memasok 3 penyulang, adapun penyulang yang dijadikan objek dalam penelitian ini adalah penyulang TEH yang berasal dari Trafo II. Adapun data-data yang diperlukan untuk penelitian ini ialah sebagai berikut :

##### 1. Data Trafo Tenaga II

Berikut adalah data spesifik dari transformator tenaga 60 MVA, pada Gardu Induk Bukit Kemuning :

- Merk : UNINDO
- Kapasitas : 60 MVA
- Tegangan : 150 / 20 kV
- Impedansi ( Z % ) : 12,06 %
- Tegangan primer : 150 kV
- Tegangan sekunder : 20 kV
- Ratio CT : 2000/5 A
- Vektor Group : YNyn0
- Arus Nominal : 1732,1 A
- Ground Resistor : 40 ohm

##### 2. Data OCR dan GFR sisi *Incoming* 20 kV dan *Outgoing* Penyulang

Berikut ini adalah data spesifik dari OCR dan GFR dari *incoming* 20 kV trafo II, pada Gardu Induk Bukit Kemuning :

##### a. Data OCR *Incoming* 20 kV

- Merk : Micom (*Schneider Electric*)
- Tipe : Micom P141
- No seri : P141316A6M0448J
- Karakteristik : Standard Inverse
- I Nominal : 2000 A
- Tms : 240 ms
- Ratio CT : 2000/5 A

##### b. Data GFR *Incoming* 20 kV

- I Nominal : 200 A
- Tms : 170 ms

##### c. Data OCR Penyulang 20 kV

- Merk : Micom (*Schneider Electric*)
- Tipe : Micom P142
- No seri : P142316A6M0448J
- Karakteristik : Standard Inverse
- I Nominal : 360 A
- Tms : 120 ms
- Ratio CT : 600/5 A

##### d. Data GFR Penyulang 20 kV

- I Nominal : 240 A
- Tms : 150 ms

##### 3. Data Jaringan Penyulang TEH

Penyulang Teh dengan panjang total jaringan 51,28 Km, menggunakan jenis penghantar AAAC 150 mm<sup>2</sup>, AAACS 150 mm<sup>2</sup>, AAAC 70 mm<sup>2</sup>.

Tabel 1. Panjang Jenis Penghantar dari Penyulang Teh

No	Jenis Penghantar kawat/kabel	Ukuran (mm <sup>2</sup> )	Panjang (km)
1	kawat AAAC	150	7,5
2	kawat AAACS	150	2,82
3	Kawat AAAC	70	40,96

Tabel 2. Impedansi Jenis Penghantar Penyulang Teh

N o	Jenis Penghantar	Ukura n (mm <sup>2</sup> )	Impedansi urutan positif (Z1)

1	AAAC	150	0,216 + j 0,338
2	AAACS	150	0,216 + j 0,338
3	AAAC	70	0,461 + j 0357

Tabel 3. Impedansi Urutan Nol

Impedansi urutan nol ( $Z_0$ )
$0,363 + j 1,618$
$0,363 + j 1,618$
$0,609 + j 1,645$

#### 4.2 Perhitungan Arus Hubung Singkat

Dari hasil perhitungan berdasarkan tabel 1, 2 dan 3 dapat diketahui arus hubung singkat tiga fasa, dua fasa dan satu fasa tanah di penyulang Teh.

$$\begin{aligned} X_{SC2} (\text{sisi } 20\text{kV}) &= j 0.804 \Omega \\ Z_{1F} &= 21,106 + j 18,115 \Omega/\text{km} \\ X_{T1} &= j 0.804 \Omega \\ Z_{0F} &= 28,692 + j 84,077 \Omega/\text{km} \\ X_{T0} &= j 8,04 \Omega \\ R_N &= 40 \Omega \end{aligned}$$

Dengan menggunakan persamaan 10 maka untuk arus gangguan tiga phasa adalah sebagai berikut :

##### 1. Arus gangguan 3 phasa

- Arus Gangguan 3 phasa (100% jaringan)

$$\begin{aligned} IF_{3\emptyset} &= \frac{V_{ph}}{Z_{1eq}} \\ &= \frac{\frac{20000}{\sqrt{3}}}{X_{SC2} + X_{T1} + Z_{1F}} \\ &= 399,75 \text{ A} \end{aligned}$$

- Arus Gangguan 3 fasa (1% jaringan)

$$\begin{aligned} IF_{3\emptyset} &= \frac{V_{ph}}{Z_{1eq}} \\ &= \frac{\frac{20000}{\sqrt{3}}}{X_{SC2} + X_{T1} + Z_{1F}} \\ IF_{3\emptyset} &= 6.471 \text{ Ampere} \end{aligned}$$

##### 2. Arus gangguan 2 phasa

- Arus Gangguan 2 Fasa (100% jaringan)

$$\begin{aligned} If_{2\emptyset} &= \frac{V_{ph}}{Z_{1eq} + Z_{2eq}} \\ &= \frac{\frac{20000}{\sqrt{3}}}{2 \times Z_{1eq}} \\ If_{2\emptyset} &= 200 \text{ Ampere} \end{aligned}$$

##### 3. Arus gangguan 1 phasa -tanah

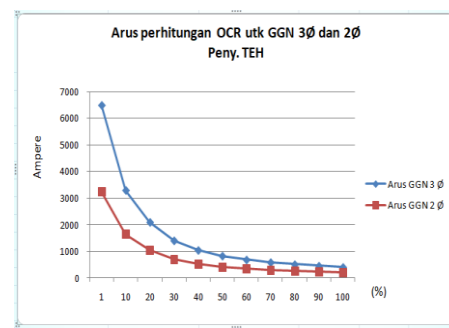
- Arus Gangguan 1 phasa Tanah (1 % jaringan)

$$\begin{aligned} If_{1\emptyset} &= \frac{3 \times \frac{20000}{\sqrt{3}}}{Z_{1eq} + Z_{2eq} + Z_{0eq}} \\ If_{1\emptyset} &= 286 \text{ Ampere} \end{aligned}$$

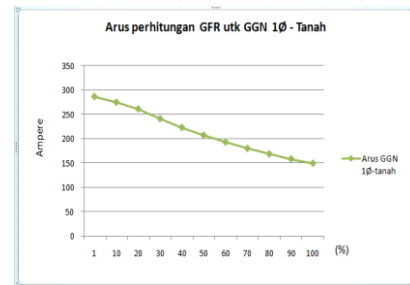
Tabel 4. Hasil Perhitungan Arus Hubung Singkat di Penyulang The

Pjg Jar.	Jarak	Arus Hubung Singkat (A)				
		%	km	3Ø	2Ø	1Ø
1	0,513	6.471	3235	286		
10	5,13	3.282	1641	275		
20	10,26	2.087	1043	261		
30	15,38	1.396	698	241		
40	20,51	1.036	518	223		
50	25,64	821	410	207		
60	30,77	679	339	193		
70	35,90	578	289	180		
80	41,02	503	252	169		
90	46,15	446	223	159		
100	51,28	400	200	149		

Dari hasil perhitungan pada tabel 4 maka dapat dilihat kurva arus gangguan seperti pada gambar 3 dan 4.



Gambar 3. Kurva Arus Gangguan 3Ø dan 2Ø



Gambar 4. Kurva Arus Gangguan 1Ø-tanah

#### 4.3 Penyetelan Waktu Kerja Rele Arus Lebih

Untuk Penyetelan waktu kerja pada rele dimulai dari sisi hilir (sisi *outgoing* / penyulang) kemudian dilanjutkan ke sisi hulu ( *Incoming feeder* ).

### 1. Setelan waktu kerja rele OCR dan GFR di Outgoing (Penyulang)

Ialah melakukan perhitungan terhadap setelan waktu kerja relay OCR (phasa-phasa) dan GFR (phasatanah) pada sisi *incoming* transformator daya II (60MVA) dari jarak 1-100% jaringan. [4]

### 2. Setelan waktu kerja rele OCR dan GFR di Incoming

Ialah melakukan perhitungan terhadap setelan waktu kerja relay OCR (phasa-phasa) dan GFR (phasatanah) pada sisi *outgoing* (Penyulang) dari jarak 1-100% jaringan.

Tabel 5. Hasil Perhitungan Waktu Kerja Rele OCR di Incoming dan Penyulang

Pjg Jar.	Jarak	Waktu kerja OCR		Selisih waktu
		Incoming	Penyulang	
(%)	km	( detik )	(detik)	(detik)
1	0,51	0,70	0,30	0,40
10	5,13	0,88	0,37	0,51
20	10,26	1,06	0,44	0,62
30	15,38	1,30	0,52	0,78
40	20,51	1,55	0,60	0,95
50	25,64	1,83	0,69	1,14
60	30,77	2,15	0,79	1,36
70	35,90	2,50	0,89	1,61
80	41,02	2,93	1,00	1,93
90	46,15	3,43	1,12	2,31
100	51,28	4,06	1,25	2,81

Tabel 5 menunjukkan hasil perhitungan Waktu Kerja Rele OCR di Incoming dan outgoing feeder (penyulang)

Tabel 6. Hasil Perhitungan Waktu Kerja Rele GFR di Incoming dan Penyulang

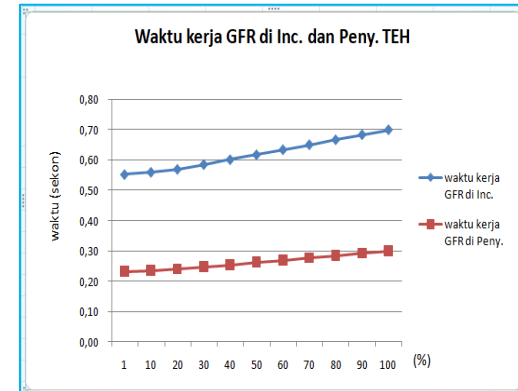
Pjg Jar	Jarak	Waktu kerja GFR		Selisih waktu
		Incoming	Penyulang	
(%)	km	( detik )	(detik)	(detik)
1	0,51	0,55	0,23	0,32
10	5,13	0,56	0,24	0,32
20	10,26	0,57	0,24	0,33
30	15,38	0,59	0,25	0,34
40	20,51	0,60	0,25	0,35
50	25,64	0,62	0,26	0,36
60	30,77	0,63	0,27	0,36
70	35,90	0,65	0,28	0,37

80	41,02	0,67	0,28	0,39
90	46,15	0,68	0,29	0,39
100	51,28	0,70	0,30	0,40

Tabel 6 menunjukkan hasil perhitungan Waktu Kerja Rele GFR di Incoming dan Penyulang.

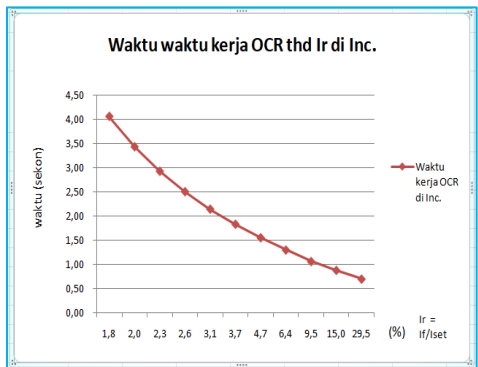
Tabel 7 Hasil Perhitungan Std. Inverse Pada Rele OCR dan GFR

Standard Inverse	Incoming (Bus 20 kV)	Outgoing Penyulang
OCR (I>)	Iset pri = 1818,6 A Iset sek = 4,55 A Tms = 0,35 T = 0,7 detik	Iset pri = 160,3 A Iset sek = 1,34 A Tms = 0,16 T = 0,3 detik
GFR (I>)	Iset pri = 99,12 A Iset sek = 0,25 A Tms = 0,26 T = 0,70 detik	Iset pri = 17,6 A Iset sek = 0,22 A Tms = 0,1 T = 0,3 detik

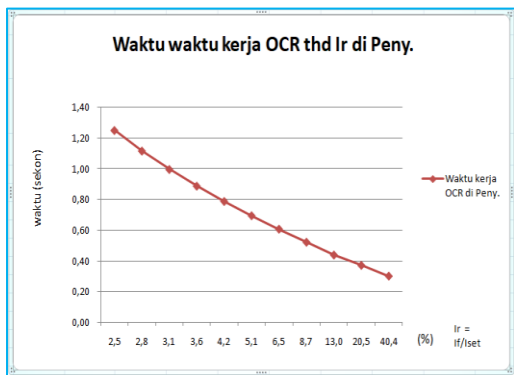


Gambar 5. Selisih waktu kerja GFR di Inc. dan Peny.

selisih waktu kerja GFR pada gambar 5 merupakan hasil perhitungan pada tabel 6.



Gambar 6. Kesesuaian bentuk kurva ( $t$ ) thd ( $Ir$ ) dari perhitungan dgn kurva *Standard Inverse* (Inc.)



Gambar 7. Kesesuaian bentuk kurva ( $t$ ) thd ( $Ir$ ) dari perhitungan dengan kurva *Standard Inverse* (Inc.)

Tabel. 8 Hasil Perhitungan dan Set PLN (OCR Penyulang)

Setting OCR Di Penyulang					
Panjang Saluran (kms)		Hasil Perhitungan		Setting PLN	
		Iset = 160,3 A, tms = 0,16	Iset = 360 A, tms = 0,12	Iset = 160,3 A, tms = 0,16	Iset = 360 A, tms = 0,12
%	km	If3 Fasa	t (detik)	If3 Fasa	t (detik)
1	0,51	6.471	0,30	6.471	0,28
10	5,13	3.282	0,37	3.282	0,37
20	10,26	2.087	0,44	2.087	0,47
30	15,38	1.396	0,52	1.396	0,61
40	20,51	1.036	0,60	1.036	0,78
50	25,64	821	0,69	821	1,01
60	30,77	679	0,79	679	1,31
70	35,90	578	0,89	578	1,77
80	41,02	503	1,00	503	2,50
90	46,15	446	1,12	446	3,93

100	51,28	400	1,25	400	8,01
-----	-------	-----	------	-----	------

Tabel 9. Hasil Perhitungan dan Set PLN (GFR Penyulang)

Setting GFR Di Penyulang					
Panjang Saluran (kms)		Hasil Perhitungan		Setting PLN	
		Iset = 14,9 A, tms = 0,1	Iset = 24 A, tms = 0,15	If1 Fasa	t (detik)
%	km	If1 Fasa	t (detik)	If1 Fasa	t (detik)
1	0,513	286	0,23	286	0,41
10	5,13	275	0,24	275	0,42
20	10,26	261	0,24	261	0,43
30	15,38	241	0,25	241	0,44
40	20,51	223	0,25	223	0,46
50	25,64	207	0,26	207	0,47
60	30,77	193	0,27	193	0,49
70	35,90	180	0,28	180	0,51
80	41,02	169	0,28	169	0,53
90	46,15	159	0,29	159	0,55
100	51,28	149	0,30	149	0,56

Tabel 10. Hasil Perhitungan dan Set PLN (OCR Incoming)

Setting OCR Di Incoming					
Panjang Saluran (kms)		Hasil Perhitungan		Setting PLN	
		Iset = 1818,6 A, tms = 0,35	Iset = 2000 A, tms = 0,24	If3 fasa Inc.	t (detik)
%	km	If3 fasa Inc.	t (detik)	If3 Fasa	t (detik)
1	0,513	53654	0,70	53654	0,49
10	5,13	27213	0,88	27213	0,63
20	10,26	17302	1,06	17302	0,76
30	15,38	11572	1,30	11572	0,94
40	20,51	8590	1,55	8590	1,13
50	25,64	6806	1,83	6806	1,35
60	30,77	5628	2,15	5628	1,61
70	35,90	4794	2,50	4794	1,90
80	41,02	4174	2,93	4174	2,27
90	46,15	3695	3,43	3695	2,72

100	51,28	3315	4,06	3315	3,31
-----	-------	------	------	------	------

Tabel 11. Hasil Perhitungan dan Set PLN (GFR Incoming)

Setting GFR Di Incoming					
Panjang Saluran (kms)		Hasil Perhitungan		Setting PLN	
%	km	If1 fasa Inc.	t (detik)	Iset = 99,12 A, tms = 0,26	Iset = 132,7 A, tms = 0,17
1	0,5128	2373	0,55	2373	0,40
10	5,128	2276	0,56	2276	0,41
20	10,256	2163	0,57	2163	0,41
30	15,384	1997	0,59	1997	0,43
40	20,512	1848	0,60	1848	0,44
50	25,64	1715	0,62	1715	0,45
60	30,768	1597	0,63	1597	0,47
70	35,896	1492	0,65	1492	0,48
80	41,024	1398	0,67	1398	0,49
90	46,152	1314	0,68	1314	0,51
100	51,28	1239	0,70	1239	0,52

## 5. KESIMPULAN

Berdasarkan dari data-data yang didapat, hasil perhitungan dan hasil analisa maka didapatkan kesimpulan sebagai berikut :

1. Dari data hasil perhitungan didapat bahwa arus gangguan hubung singkat 3 fasa yang terbesar berada di titik pangkal penyulang (1% jaringan) yakni sebesar 6,471 A, sedangkan arus gangguan 3 fasa terkecil berada pada ujung penyulang (100% jaringan) yakni sebesar 400 A. Dan untuk arus gangguan hubung singkat 1 fasa yang terbesar juga berada di titik pangkal penyulang (1% jaringan) yakni sebesar 286 A, sedangkan arus gangguan 1 fasa terkecil juga berada pada ujung penyulang (100% jaringan) yakni sebesar 149 A. Sehingga dapat disimpulkan bahwa semakin dekat jarak gangguan yang terjadi maka nilai arus gangguannya akan semakin besar, dan bila semakin besar arus gangguannya maka waktu kerja rele akan semakin cepat.
2. Nilai setting yang didapat dari hasil perhitungan pada Penyulang Teh untuk setting rele OCR, Iset = 160,3 A dengan Tms 0,16 detik dan setting rele GFR, Iset= 17,6 A dengan Tms = 0,1 detik. Dan untuk nilai setting yang didapat dari hasil perhitungan pada *Incoming* Trafo daya II (60 MVA) untuk setting rele OCR, Iset = 1818,6 A dengan Tms 0,35 detik dan setting rele GFR Iset= 99,12 A dengan Tms = 0,26

detik. Sehingga dapat disimpulkan bahwa semakin besar arus gangguan yang terjadi maka waktu kerja relnya akan semakin cepat.

3. Dapat disimpulkan bahwa besarnya arus gangguan hubung singkat dipengaruhi oleh jarak titik gangguan, semakin jauh jarak titik gangguan maka semakin kecil arus gangguan hubung singkatnya dan sebaliknya, selain itu dapat dilihat bahwa arus gangguan hubung singkat terbesar ialah arus gangguan hubung singkat  $3\theta$ , apabila dilihat dari gangguan terhadap phasa ( $3\theta$ ,  $2\theta$  dan  $1\theta$ ).

## Daftar Pustaka

- Affandi, Irfan. (2009). Tugas Akhir : "Analisa Setting Relai Arus Lebih dan Relai Gangguan Tanah pada Penyulang Sadewa di GI Cawang". Depok : Universitas Indonesia, 2009.
- Fajar Pranayuda dkk,( 2012). Analisis Mengenai Penyetelan Proteksi Penyulang Cimalaka di Gardu Induk 70 kV Sumedang, Jurnal Media Elektrika, Vol. 5 No. 2 Desember 2012, Hal 11-26.
- Budi Utomo, Heri. Ir. "Modul Perkuliahan :Proteksi Penyulang Tegangan Menengah. Bandung : Politeknik Negeri Bandung, 2004.
- Fattahurrahman, Tugas Akhir :"Studi Penyetelan Rele OCR dan GFR pada Perubahan Kapasitas Trafo Daya dari 30MVA menjadi 60MVA akibat Penambahan Beban di Gardu Induk Gumawang". Palembang : Universitas Tridinanti Palembang, 2016.
- Sarimun, Wahyudi, (2012), "Proteksi Sistem Distribusi Tenaga Listrik", Penerbit CV.Garamond, Depok.
- Y. Afrida, Mahendra Ridho, Hamimi,(2020) Analisa Kegagalan Koordinasi Proteksi Pada Setting Relay OCR Penyulang Semar di PT. PLN (Persero) Unit Layanan Pelanggan Bandar Jaya, Jurnal Ilmiah Teknik Elektro (JITRO), Vol.1.No.1 Oktober 2020.